



「テンソル繰り込み群による(3+1)次元有限密度 Z_2 ゲージヒッグスモデルの研究」

筑波大学・計算科学研究センター
藏増 嘉伸

@宇宙史研究センター構成員会議, 2022年6月24日



内容

- テンソル繰り込み群(TRG)
 - 2次元Isingモデル
- 特異値分解(SVD)
- モンテカルロ法との比較
- TRG法の素粒子物理への応用
- (3+1)次元 Z_2 ゲージヒッグスモデルの臨界終点
- まとめ



テンソル繰り込み群(TRG)

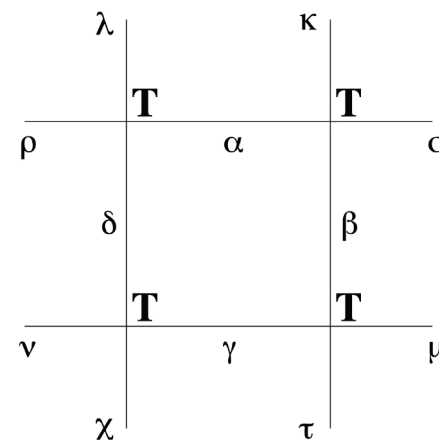
Levin-Nave
PRL99(2007)120601

例としてNサイトを持つ2Dイジングモデルを考える

$$\text{ハミルトニアン } H = \sum_{\langle i,j \rangle} s_i s_j \quad s_i \pm 1$$

$$\text{分配関数} \quad Z = \sum_{\{s_i\}} \exp(-\beta H)$$

$$= \sum_{\alpha, \beta, \gamma, \delta, \dots=1}^2 T_{\alpha, \lambda, \rho, \delta} T_{\sigma, \kappa, \alpha, \beta} T_{\mu, \beta, \gamma, \tau} T_{\gamma, \delta, \nu, \chi} \dots$$



テンソルネットワーク表現

モデルの詳細は初期テンソルのみに依存
計算アルゴリズムはモデルと独立

勿論, サイト数Nが大きくなれば添字の縮約の完全実行は不可能
⇒ どうやって分配関数を評価するか?



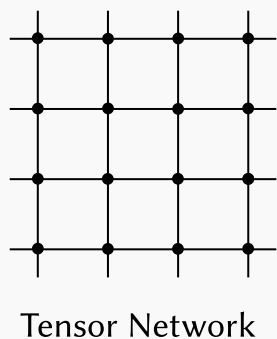
TRGアルゴリズムの概略

1. サイト上のテンソル T に対する特異値分解
2. 古い添字の縮約 (疎視化)
3. 手続きの反復

Tensor Network Renormalization Group

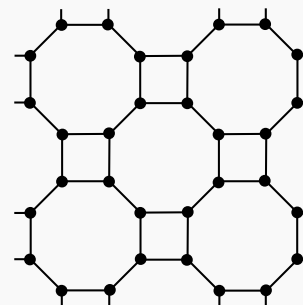
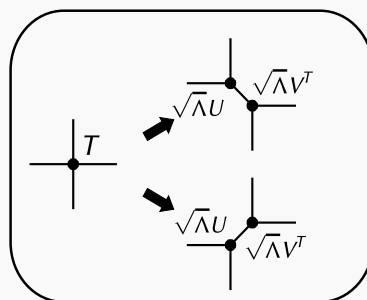
Singular Value Decomposition

大きな特異値を持つ
部分空間のみを残す

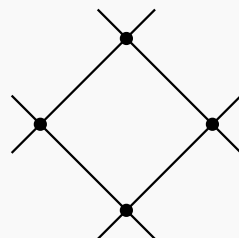


Tensor Network

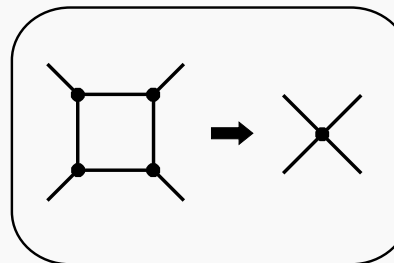
$$T = U\Lambda V^T$$



Cycle



Contraction



新しい添字を
持つテンソル

Large lattice can be mapped
to small lattice!

サイト数は半減



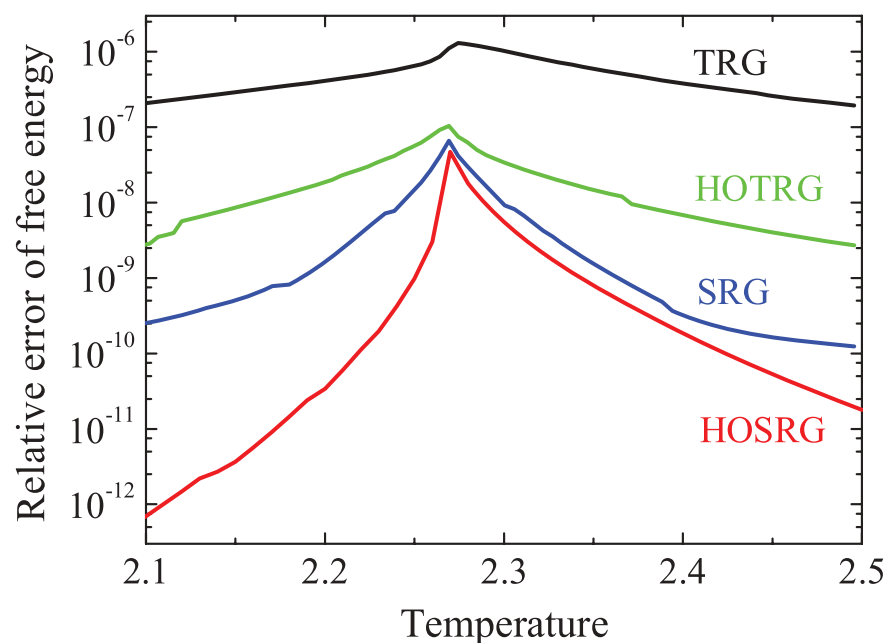
2Dイジングモデルを使ったテスト

アルゴリズムの要諦は特異値分解を用いた低ランク近似

$$T_{i,j,k,l} \simeq \sum_{m=1}^{D_{\text{cut}}} U_{\{k,l\},m} \Lambda_m V_{\{i,j\},m}$$

誤差をコントロールするパラメーターは D_{cut}

転移点近傍での自由エネルギーの厳密解からの相対誤差,
格子サイズ= $2^{30} \sim 50$, $D_{\text{cut}}=24$



Xie et al.
PRB86(2012)045139

Onsagerの厳密解との比較
相対誤差: $\leq 10^{-6}$



特異値分解(Singular Value Decomposition)

任意の $m \times n$ 実行列 A は $A=U\Sigma V^T$ と分解できる

U : $m \times m$ の直交行列

V : $n \times n$ の直交行列

$\Sigma = \text{diag}(\sigma_1, \sigma_2, \sigma_3, \sigma_4, \dots, \sigma_n)$ ($\sigma_1 \geq \sigma_2 \geq \sigma_3 \geq \sigma_4 \geq \dots \geq \sigma_n \geq 0$)

$\sigma_1, \sigma_2, \sigma_3, \sigma_4, \dots, \sigma_n$ は A の特異値で非負

U の各列 u_1, u_2, \dots, u_n と V の各列 v_1, v_2, \dots, v_n を用いたランク1の行列和に分解,

$$A = \sigma_1 u_1 v_1^T + \sigma_2 u_2 v_2^T + \dots + \sigma_n u_n v_n^T$$

$$\sigma_i u_i v_i^T = \begin{array}{c} \color{green}{\rule{0.5cm}{0.5cm}} \\ u_i \end{array} \times \begin{array}{c} \color{green}{\square} \\ \sigma_i \end{array} \times \begin{array}{c} \color{green}{\rule{2cm}{0.5cm}} \\ v_i^T \end{array}$$



行列の近似

行列Aの近似

$$A = \sigma_1 u_1 v_1^T + \sigma_2 u_2 v_2^T + \cdots + \sigma_k u_k v_k^T + \cdots + \sigma_n u_n v_n^T$$

$$A_k = \sigma_1 u_1 v_1^T + \sigma_2 u_2 v_2^T + \cdots + \sigma_k u_k v_k^T \quad (\text{行列}k\text{個の和で近似})$$

近似誤差は $\|A - A_k\|_F$ で定義

$$\|A - A_k\|_F = (\sigma_{k+1}^2 + \sigma_{k+2}^2 + \cdots + \sigma_n^2)^{1/2}$$

$$\text{ただし, } \|A\|_F = (\text{Tr}(A^T A))^{1/2} = (\sum_i \sum_j a_{ij}^2)^{1/2}$$

情報圧縮の手段として画像圧縮などに利用



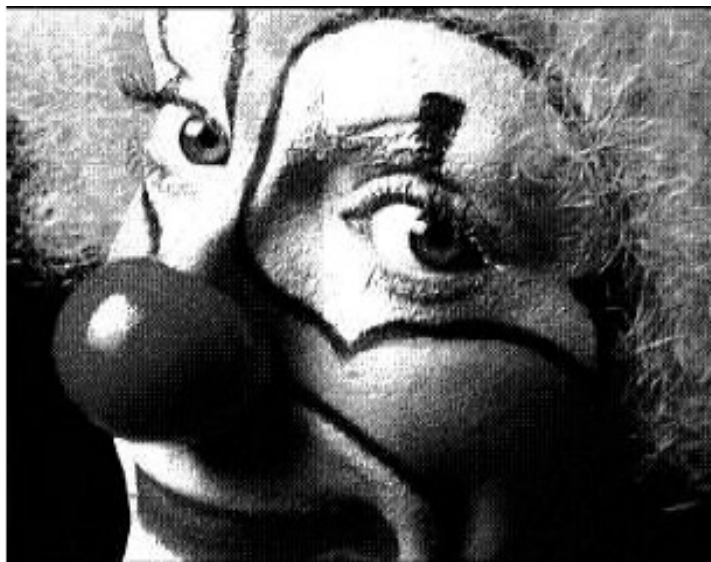
特異値分解(SVD)を用いた画像圧縮

200x320ピクセルの画像データ \Rightarrow 200x320実行列A

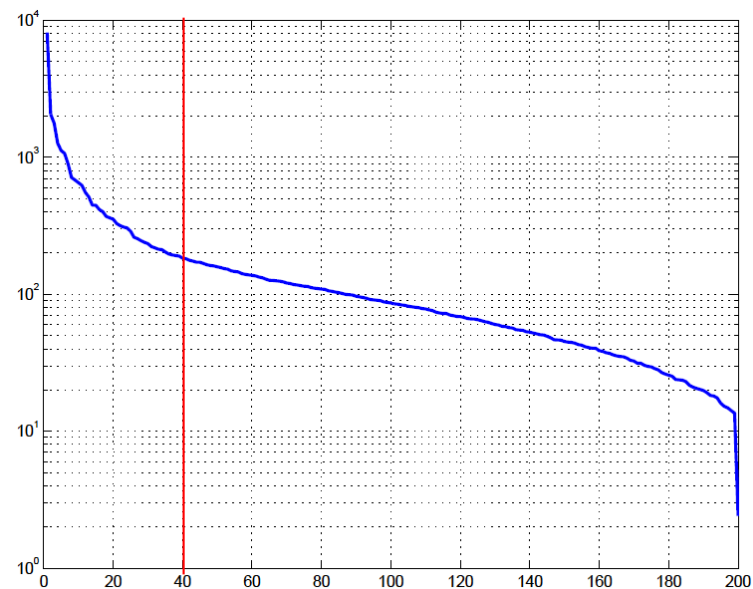
行列を特異値分解

$$A = \sigma_1 u_1 v_1^T + \sigma_2 u_2 v_2^T + \dots + \sigma_n u_n v_n^T \quad (n=200)$$

サンプル画像(200x320ピクセル)



特異値の分布(大 \rightarrow 小)



J. Demmel: Applied Numerical Linear Algebra, SIAM 1997



復元画像の品質

$$A_k = \sigma_1 u_1 v_1^T + \sigma_2 u_2 v_2^T + \dots + \sigma_k u_k v_k^T \quad (k \ll 200)$$

$k = 3$



$k = 10$



$k = 20$

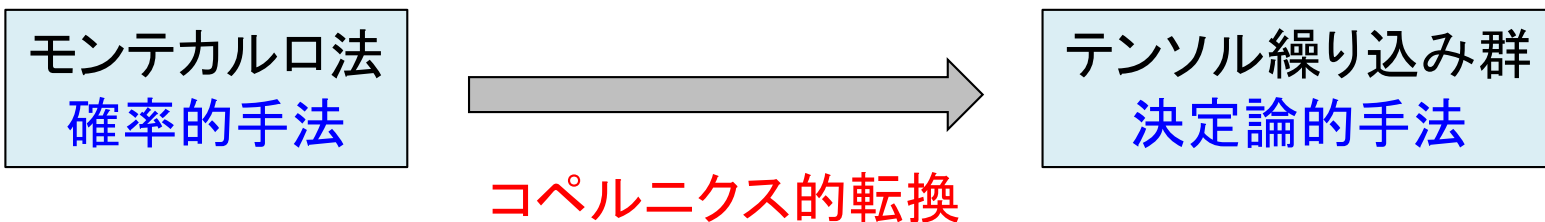


$k = 40$





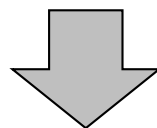
モンテカルロ法との相違点



- ・モンテカルロ法における符号問題および複素作用問題がない

$$Z = \int \mathcal{D}\phi \exp(-S_{\text{Re}}[\phi] + iS_{\text{Im}}[\phi])$$

- ・ L^D のシステムサイズに対する計算コスト $\propto D \times \log(L)$
- ・グラスマン数を直接扱うことが可能
- ・分配関数 Z そのものを計算可能



素粒子物理: 軽いクォークのダイナミクス, 有限密度QCDの相構造解析
Strong CP問題などの研究に応用可能

物質科学: 強相関量子系, 金属絶縁体転移, 高温超伝導などの
研究に応用可能 (ハバードモデル)



TRG法の素粒子物理への応用(1)

2次元モデル

CP(1)モデル: Kawauchi-Takeda, PRD93(2016)114503

実 ϕ^4 理論:

Shimizu, Mod.Phys.Lett.A27(2012)1250035,

Kadoh-YK-Nakamura-Sakai-Takeda-Yoshimura, JHEP1905(2019)184

有限密度における複素 ϕ^4 理論:

Kadoh-YK-Nakamura-Sakai-Takeda-Yoshimura, , JHEP2002(2020)161

θ 項(トポロジカル項)を持つU(1)ゲージ理論:

YK-Yoshimura, JHEP2004(2020)089

Schwingerモデル(2次元QED), θ 項(トポロジカル項)を持つSchwingerモデル:

Shimizu-YK, PRD90(2014)014508, PRD90(2014)074503,

PRD97(2018)034502

有限密度におけるGross-Neveuモデル:

Takeda-Yoshimura, PTEP2015(2015)043B01

N=1 Wess-Zuminoモデル(超対称性理論):

Kadoh-YK-Nakamura-Sakai-Takeda-Yoshimura, JHEP1803(2018)141

符号問題解決の検証, スカラー場・フェルミオン場・ゲージ場の計算手法開発



TRG法の素粒子物理への応用(2)

4次元モデル

Isingモデル:

Akiyama-YK-Yamashita-Yoshimura, PRD100(2019)054510

有限密度における複素 ϕ^4 理論:

Akiyama-Kadoh-YK-Yamashita-Yoshimura, JHEP2002(2020)161

実 ϕ^4 理論:

Akiyama-YK-Yoshimura, PRD104(2021)034507

有限密度におけるNambu-Jona-Lasinio(NJL)モデル:

Akiyama-YK-Yamashita-Yoshimura, JHEP2101(2021)121

⇒ 研究の重心は2次元モデル・理論から4次元モデル・理論へ移行
4次元スカラー場の理論, フェルミオン場の理論への応用は成功

4次元ゲージ理論は？

有限密度における Z_2 ゲージヒッグスモデル:

Akiyama-YK, JHEP2205(2022)102



有限密度における Z_2 ゲージヒッグスモデル(1)

Akiyama-YK, JHEP2205(2022)102

有限密度 Z_2 ゲージヒッグスモデル(最も簡単な4次元ゲージ場+物質場の系)

$$Z = \left(\prod_{n, \nu} \sum_{U_\nu(n)=\pm 1} \right) \left(\prod_n \sum_{\sigma(n)=\pm 1} \right) e^{-S}$$

$$S = -\beta \sum_{n \in \Lambda_{d+1}} \sum_{\nu > \rho} U_\nu(n) U_\rho(n + \hat{\nu}) U_\nu(n + \hat{\rho}) U_\rho(n) \\ - \eta \sum_n \sum_\nu \left[e^{\mu \delta_{\nu, d+1}} \sigma(n) U_\nu(n) \sigma(n + \hat{\nu}) + e^{-\mu \delta_{\nu, d+1}} \sigma(n) U_\nu(n - \hat{\nu}) \sigma(n - \hat{\nu}) \right]$$

$U_\mu(n)$: 格子点 n におけるリンク変数, $Z_2 = \{\pm 1\}$

$\sigma(n)$: 格子点 n における物質場(スピン), $Z_2 = \{\pm 1\}$

β : 逆ゲージ結合定数

η : ゲージ不変スピン-スピン結合定数

μ : 化学ポテンシャル(密度をコントロール)

a : 格子間隔($a=1$)

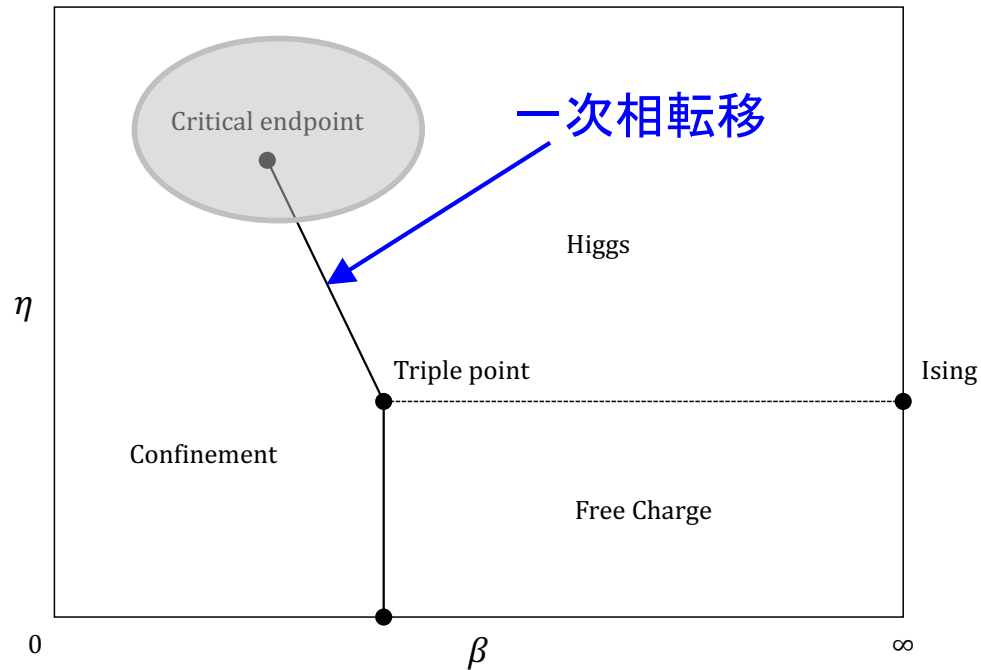


有限密度における Z_2 ゲージヒッグスモデル(1)

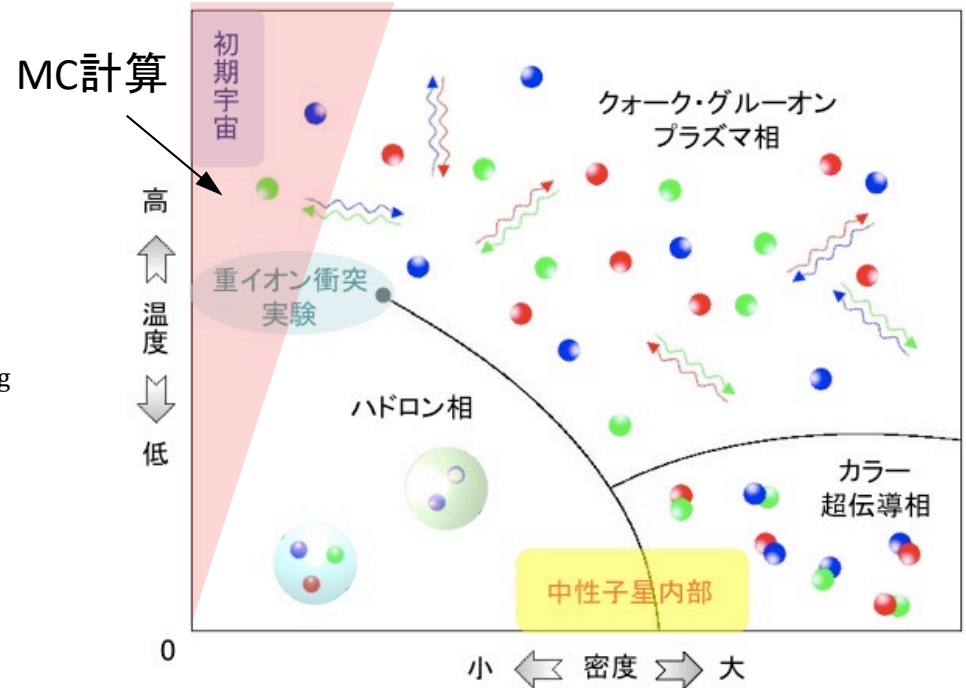
Akiyama-YK, JHEP2205(2022)102

Z_2 ゲージヒッグスモデルはQCDと同様に臨界終点が存在

Z_2 ゲージヒッグスモデルで期待されている相図



QCDで期待されている相図



臨界終点をうまく決定できるか？

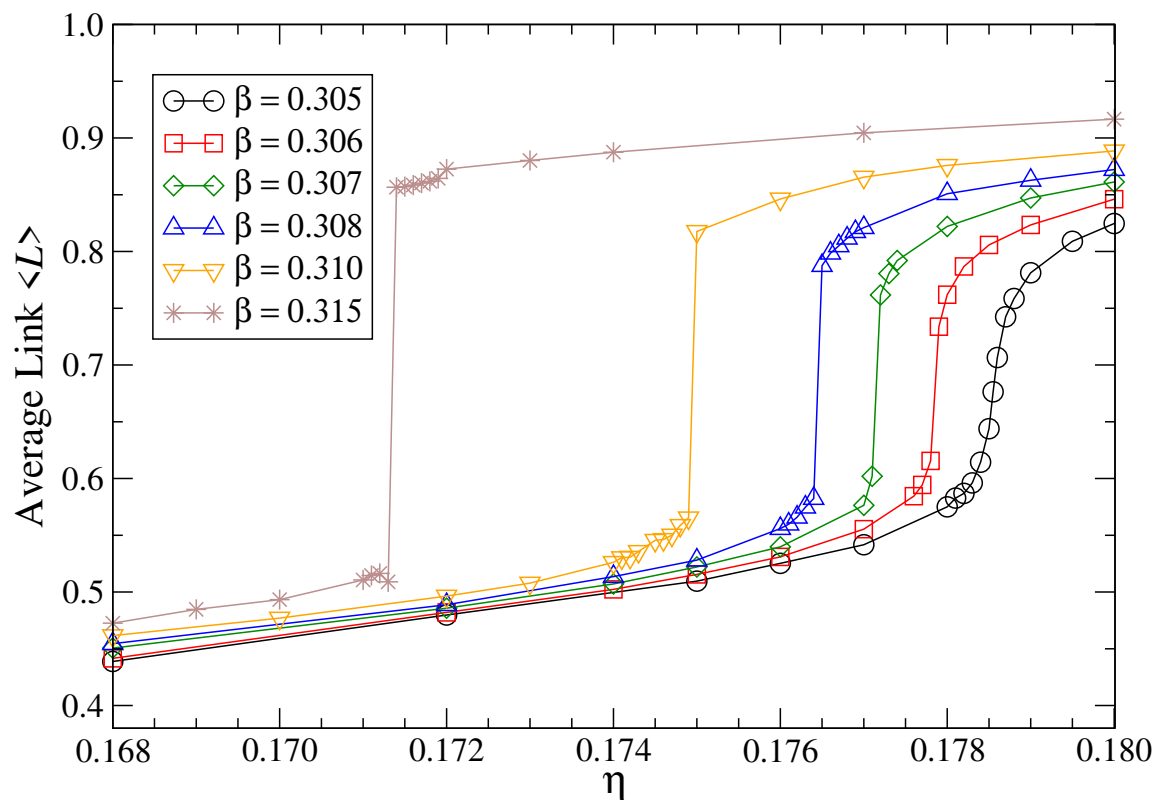


ゼロ密度($\mu=0$)における臨界終点の決定(1)

Akiyama-YK, JHEP2205(2022)102

リンク期待値の不連続性(トビ)で一次相転移を同定

$$\langle L \rangle = \frac{1}{(d+1)V} \frac{\partial \ln Z}{\partial (2\eta)} \quad (d=3, V=32^4, D_{\text{cut}}=48)$$



$\langle L \rangle$ の不連続性が消える点(β_c, η_c)が臨界終点



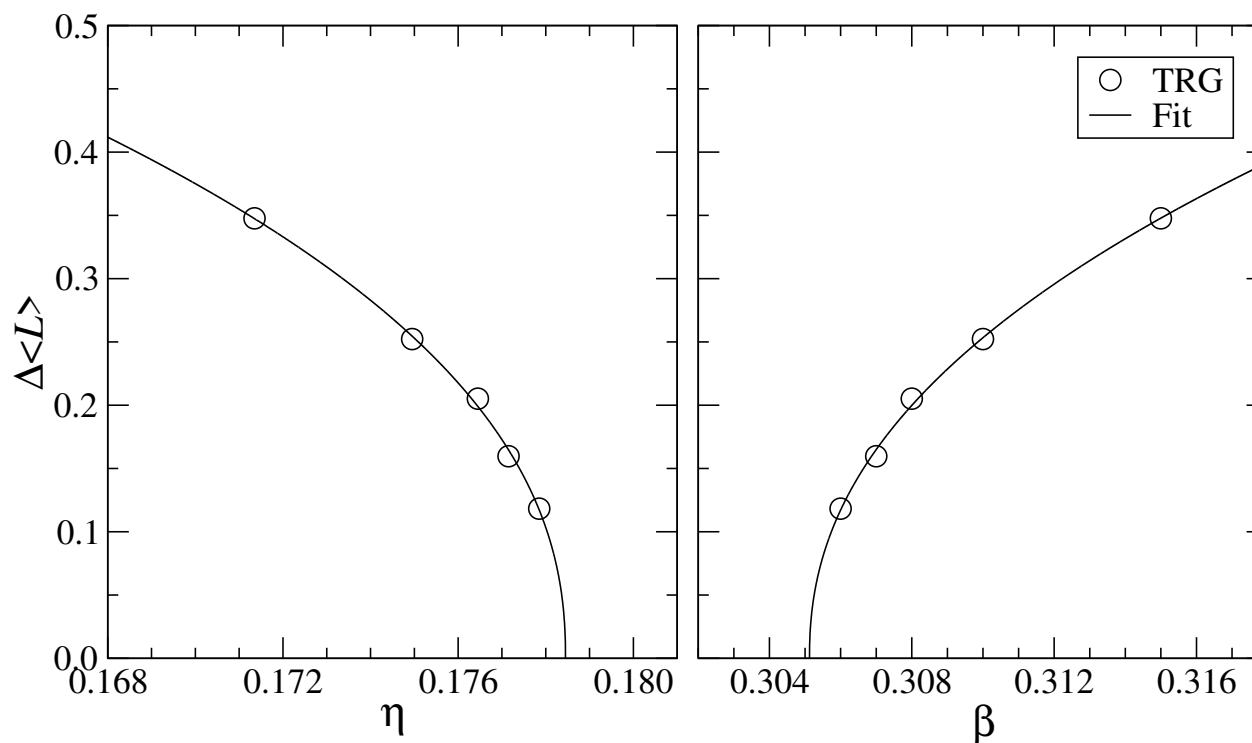
ゼロ密度($\mu=0$)における臨界終点の決定(2)

Akiyama-YK, JHEP2205(2022)102

$\Delta\langle L \rangle$ (リンク期待値のトビ)がゼロになる点を外挿で決定

$$\Delta\langle L \rangle = A(\eta - \eta_c)^q$$

$$\Delta\langle L \rangle = B(\beta - \beta_c)^p$$



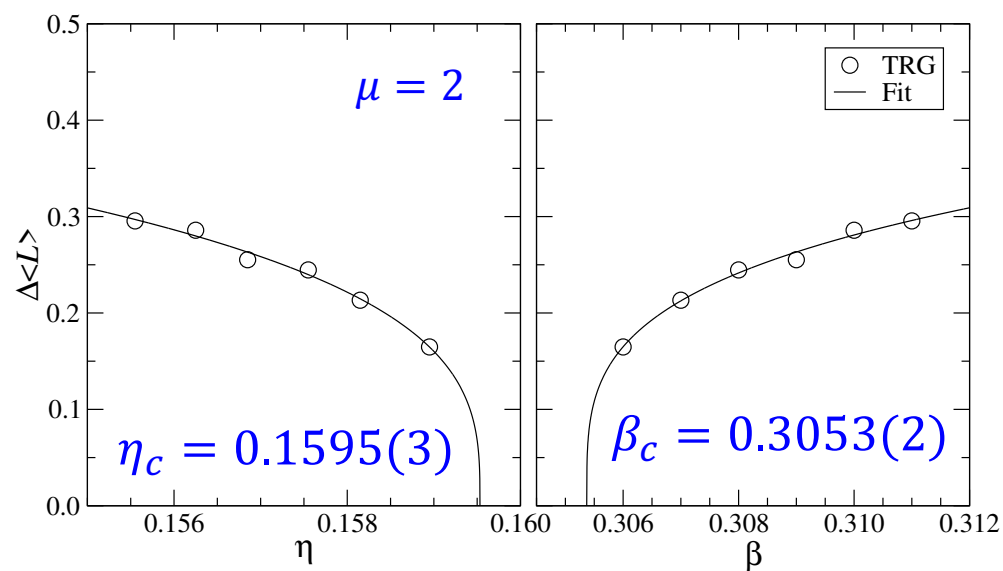
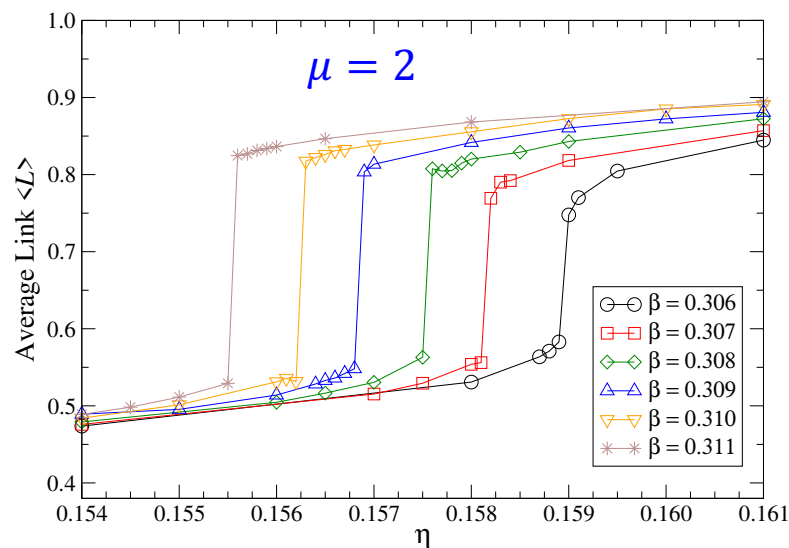
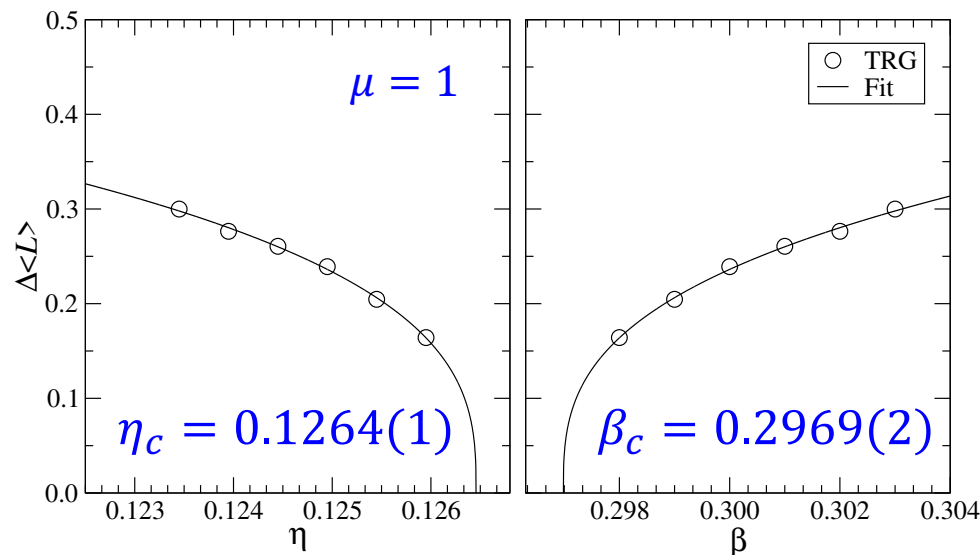
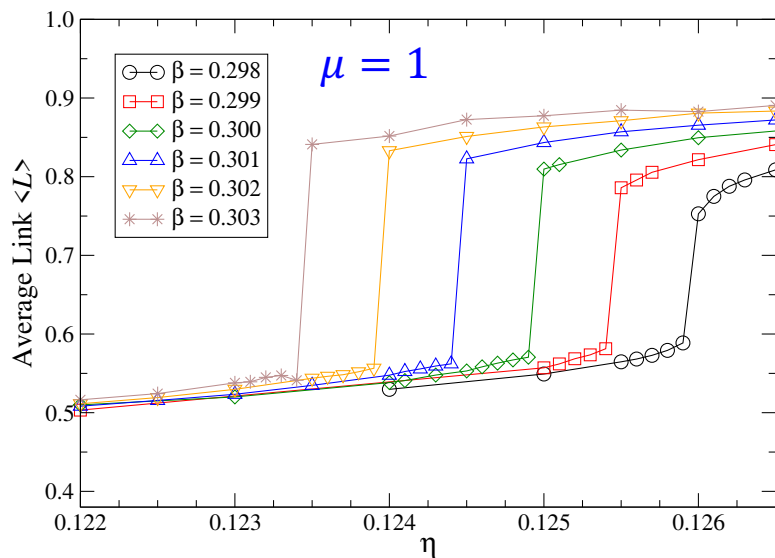
臨界終点: $(\beta_c, \eta_c) = (0.3051(2), 0.1784(2))$



有限密度($\mu \neq 0$)における臨界終点の決定(1)

Akiyama-YK, JHEP2205(2022)102

$\mu = 0$ の計算を $\mu = 1, 2$ でも実行して(β_c, η_c)を決定



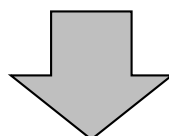


まとめ

- ・モンテカルロ法における符号問題および複素作用問題がない

$$Z = \int \mathcal{D}\phi \exp(-S_{\text{Re}}[\phi] + iS_{\text{Im}}[\phi])$$

- ・ L^D のシステムサイズに対する計算コスト $\propto D \times \log(L)$
- ・グラスマン数を直接扱うことが可能
- ・分配関数 Z そのものを計算可能



素粒子物理: 軽いクォークのダイナミクス, 有限密度QCDの相構造解析

Strong CP問題などの研究に応用可能

物質科学: 強相関量子系, 金属絶縁体転移, 高温超伝導などの

研究に応用可能 (ハバードモデル)

現段階:

4次元理論(スカラー, フェルミオン, ゲージ)の計算が可能になった

有限密度 Z_2 ゲージヒッグスモデルの計算に成功

⇒ 連続群(U(1))・非可換群(SU(2), SU(3))への応用